

проведенных в [7] для аналогичной экспериментальной ситуации (взаимодействие излучения электроразрядного CO₂-лазера с водой) при больших радиусах лазерного луча (~5 мм), полный импульс давления отдачи $\Pi_0 \sim 1$ Па·с при $w \simeq 0,85$ Дж/см². Рост отношения Π_0/w при увеличении радиуса пятна и неизменной w связан с повышением эффективности приложения реакции отдачи в условиях более длительного сохранения плоской геометрии разлета пара.

Отметим, что экспериментально установленные в работе закономерности позволяют оценивать переданный поверхности жидкости импульс давления отдачи по заданной энергии лазерного излучения. Объяснение этих закономерностей требует дальнейшего развития теории явления.

ЛИТЕРАТУРА

1. Bell C. E., MacCabee B. S. Shock wave generation in air and in water by CO₂-TEA laser radiation // Appl. Optic.— 1974.— V. 13, N 3.
2. Emmony D. C., Geerken T., Klein-Baltink H. Laser-generated high frequency sound waves in water // J. Acoust. Soc. Amer.— 1983.— V. 73, N 1.
3. Sigrist M. W., Kneubühl F. K. Laser-generated stress waves in liquids // J. Acoust. Soc. Amer.— 1978.— V. 64, N 6.
4. Бункин Ф. В., Трыбельский М. И. Резонансное взаимодействие мощного оптического излучения с жидкостью // УФН.— 1980.— Т. 130, вып. 2.
5. Emmony D. C. Interaction of IR-radiation with liquids // Infrared Phys.— 1985.— V. 25, N 1/2.
6. Алексеев В. Н., Егоров С. В. и др. Акустическая диагностика нестационарных процессов взаимодействия оптического излучения с сильно поглощающей диэлектрической жидкостью // Акуст. журн.— 1987.— Т. 32, № 6.
7. Витнас А. Ф., Корнеев В. В. и др. Импульс отдачи при нестационарном поверхностном испарении воды // ТВТ.— 1987.— Т. 25, № 2.
8. Emmony D. C., Geerken V. M., Straaijer A. The interaction of 10,6 laser radiation with liquids // Infrared Phys.— 1976.— V. 16, N 1/2.
9. Дерибас А. А., Похожаев С. И. Постановка задачи о сильном взрыве на поверхности жидкости // ДАН СССР.— 1962.— Т. 144, № 3.
10. Минин В. Ф. О взрыве на поверхности жидкости // ПМТФ.— 1964.— № 3.
11. Зосимов В. В., Наугольных К. А., Пученков О. В. Об одном случае возбуждения гравитационно-капиллярных волн при взаимодействии мощного лазерного излучения с жидкостью // IV Всесоюз. симп. по физике акустико-гидродинамических явлений и оптоакустике: Тез. докл.— Ашхабад: Изд-во АН ТССР, 1985.
12. Ландау Л. Д., Лифшиц Е. М. Гидродинамика.— М.: Наука, 1986.
13. Таблицы физических величин: Справочник/Под ред. акад. И. К. Кикоина.— М.: Атомиздат, 1976.
14. Наугольных К. А., Рой Н. А. Электрические разряды в воде: (Гидродинамическое описание).— М.: Наука, 1971.
15. Золотарев В. М., Морозов В. Н., Смирнов Е. В. Оптические постоянные природных и технических сред: Справочник.— Л.: Химия, 1984.
16. The Sadtler handbook of infrared spectra.— Philadelphia: Sadtler Res. Labs, 1978.

г. Москва

Поступила 27/IV 1988 г.,
в окончательном варианте — 21/VII 1988 г.

УДК 532

О. М. Лаврентьева

ТЕЧЕНИЕ ВЯЗКОЙ ЖИДКОСТИ В СЛОЕ НА ВРАЩАЮЩЕЙСЯ ПЛОСКОСТИ

При проведении некоторых современных технологических процессов требуется наносить на плоские поверхности тонкие пленки равномерной толщины. Один из применяемых для этого методов состоит в том, что вначале на плоскость наливается достаточно толстый слой жидкости, который затем утончается путем вращения образца [1]. Подобные методы используются при производстве зеркал [2], экранов цветных телевизоров [3], интегральных схем и магнитных дисков памяти [4]. С помощью вращающихся дисков также осуществляется разбрызгивание и перемешивание жидкостей для ускорения гетерогенных химических реакций в различных процессах химической технологии [4—6].

Для эффективного управления этими процессами нужно знать характер возникающих течений. Поскольку радиус вращающегося диска обычно много больше толщины слоя жидкости, при математическом моделировании можно заменять диск бес-

конечной вращающейся плоскостью. В данной работе строятся стационарные и автомодельные решения типа Кармана уравнений Навье — Стокса, описывающие течение вязкой жидкости в слое между вращающейся твердой плоскостью и параллельной ей свободной поверхностью.

1. Постановка задачи. Рассматривается вращательно-симметричное течение вязкой несжимаемой жидкости в слое $\Lambda_t = \{(r, \theta, z) \in R^3, z \in (0, Z(t))\}$, ограниченном сверху свободной поверхностью, а снизу — твердой стенкой, вращающейся вокруг оси z с заданной угловой скоростью $\Omega(t)$.

Поле скорости и давления в жидкости ($V(r, z, t)$ и $p(r, z, t)$) удовлетворяет уравнениям Навье — Стокса

$$(1.1) \quad \begin{aligned} u_t + uu_r - r^{-1}v^2 + wu_z &= -\rho^{-1}p_r + \nu[u_{rr} + (r^{-1}u)_r + u_{zz}], \\ v_t + uv_r + r^{-1}uv + wv_z &= \nu[v_{rr} + (r^{-1}v)_r + v_{zz}], \\ w_t + uw_r + ww_z &= -\rho^{-1}p_z + \nu[w_{rr} + r^{-1}w_r + w_{zz}], \\ u_r + r^{-1}u + w_z &= 0 \end{aligned}$$

в области Λ_t и граничным условиям прилипания

$$(1.2) \quad u = 0, v = r\Omega(t), w = 0 \quad \text{при } z = 0,$$

а также динамическому

$$(1.3) \quad p = p_0 + 2\rho\nu w_z, u_z = v_z = 0$$

и кинематическому

$$(1.4) \quad w = dZ/dt$$

условиям на свободной границе $z = Z(t)$. Здесь u, v, w — соответственно радиальная, окружная и осевая компоненты скорости V ; ρ — плотность жидкости; ν — кинематический коэффициент вязкости; нижний индекс обозначает частную производную по соответствующему аргументу.

Далее рассматриваются решения (1.1)—(1.4), для которых функции u и v линейны по переменной r , а p и w от r не зависят. Пусть

$$(1.5) \quad \begin{aligned} u &= r\Omega_0 F(\xi, \tau), v = r\Omega_0 G(\xi, \tau), \Omega = \Omega_0 \omega(\tau), \\ w &= \sqrt{\nu\Omega_0} H(\xi, \tau), p = \rho\nu\Omega_0 Q(\xi, \tau), \end{aligned}$$

где $\xi = z\sqrt{\Omega_0/\nu}$; Ω_0 — характерная угловая скорость; $\tau = \Omega_0 t$. Тогда уравнения (1.1) принимают вид

$$(1.6) \quad F_\tau + HF_\xi + F^2 - G^2 = F_{\xi\xi\xi};$$

$$(1.7) \quad G_\tau + HG_\xi + 2FG = G_{\xi\xi\xi};$$

$$(1.8) \quad 2F + H_\xi = 0;$$

$$(1.9) \quad H_\tau + HH_\xi = -Q_\xi + H_{\xi\xi\xi}$$

при $\xi \in (0, D(\tau))$, $\tau > 0$ ($D(\tau) = \sqrt{\Omega_0/\nu}Z$), а граничные условия (1.2)—(1.4):

$$(1.10) \quad Q = 2H_\xi + p_0/(\rho\nu\Omega_0);$$

$$(1.11) \quad F = 0, G = \omega(\tau), H = 0 \quad \text{при } \xi = 0;$$

$$(1.12) \quad F_\xi = G_\xi = 0;$$

$$(1.13) \quad H = dD/d\tau \quad \text{при } \xi = D(\tau).$$

Задача замыкается заданием начальных данных

$$(1.14) \quad \begin{aligned} F &= F^0(\xi), G = G^0(\xi), H = H^0(\xi) \quad \text{при } \xi \in (0, D_0), \\ \tau &= 0, D(0) = D_0. \end{aligned}$$

Нетрудно видеть, что задача (1.6)—(1.14) распадается на две последовательно решаемые. Функции $F(\xi, \tau)$, $G(\xi, \tau)$, $H(\xi, \tau)$, $D(\tau)$ определяют

ся из решения замкнутой задачи (1.6)–(1.8), (1.11)–(1.14), а давление $Q(\xi, \tau)$ восстанавливается затем из (1.9), (1.10).

Решения вида (1.5) впервые рассматривались Карманом [7]. Начально-краевая задача (1.6)–(1.14) исследовалась в [1, 8]. В [8] доказана ее однозначная разрешимость в малом по времени для гладких функций $\omega(\tau)$ при выполнении условий согласования начальных данных и граничных условий. В [1] рассматривалась задача с несогласованными начальными и граничными условиями $\omega = \omega_0$, $F^0(\xi) = G^0(\xi) = H^0(\xi) = 0$ и построено формальное асимптотическое разложение при малых числах Рейнольдса ($Re = D_0^2 \omega_0 = \Omega(0)Z^2(0)/\nu$) и малых значениях τ . В [4–6] численно решалась стационарная задача (1.6)–(1.12) при заданном значении $D(\tau) = D_0$. Кинематическое условие (1.13) для всех построенных там решений не было выполнено, поэтому их физическая интерпретация затруднительна.

Данная работа посвящена построению стационарных и автомодельных решений задачи (1.6)–(1.13). Пусть $\omega_n(\tau) = (1 + n\tau)^{-1} \omega_n$ при $n = -1, 0, 1$, тогда задача (1.6)–(1.13) допускает решения вида

$$\begin{aligned} H(\xi, \tau) &= (1 + n\tau)^{-1/2} [h_n(\xi_n) + n\xi_n/2], \\ F(\xi, \tau) &= (1 + n\tau)^{-1} f_n(\xi_n), \quad G(\xi, \tau) = (1 + n\tau)^{-1} g_n(\xi_n), \\ D_n(\tau) &= (1 + n\tau)^{1/2} d_n, \quad \xi_n = (1 + n\tau)^{-1/2} \xi. \end{aligned}$$

Неизвестные функции $f_n(\xi)$, $g_n(\xi)$, $h_n(\xi)$ и число d_n при разных n удовлетворяют уравнениям (индексы n ниже опущены, штрих обозначает дифференцирование по переменной ξ)

$$(1.15) \quad f'' = f'h + f^2 - g^2 - nf;$$

$$(1.16) \quad g'' = g'h + 2fg - ng;$$

$$(1.17) \quad h' = -2f - n/2$$

и граничным условиям

$$(1.18) \quad f(0) = h(0) = 0, \quad g(0) = \omega;$$

$$(1.19) \quad f'(d) = g'(d) = h(d) = 0.$$

При $n = -1$ эти решения описывают автомодельное растекание, при $n = 0$ — стационарное течение, при $n = 1$ — автомодельный режим утолщения слоя жидкости на вращающейся плоскости.

2. Течение в слое на неподвижной плоскости. Если плоскость $z = 0$ не вращается, т. е. $\omega = 0$, то система (1.14)–(1.16) имеет решения такие, что $g \equiv 0$, а функции f и h удовлетворяют уравнениям

$$(2.1) \quad f'' = f'h + f^2 - nf;$$

$$(2.2) \quad h' = -2f - n/2.$$

Граничные условия в этом случае принимают вид

$$(2.3) \quad f(0) = h(0) = f'(d) = h(d) = 0.$$

Пусть $f(\xi)$, $h(\xi)$, d — решение задачи (2.1)–(2.3). Интегрируя (2.2) от 0 до d с учетом граничных условий, получим

$$(2.4) \quad \int_0^d f(\xi) d\xi = -nd/4.$$

Из уравнений (2.1), (2.2) вытекает

$$(2.5) \quad (f + h^2/4)'' = n^2/8 + 3f^2 \geq n^2/8.$$

Интегрируя последнее неравенство сначала от d до ξ , а затем от 0 до ξ и учитывая граничные условия (2.3), находим

$$(2.6) \quad f + h^2/4 \leq n^2(\xi^2 - 2d\xi)/16,$$

что после подстановки в (2.4) дает

$$(2.7) \quad -6nd \leq -n^2d^3.$$

Равенство в (2.5)–(2.7) может достигаться, только если $f \equiv 0$.

Имеют место следующие утверждения.

1. Если $\omega = 0$, $g \equiv 0$, $n = 0$, то $f \equiv 0$, $h \equiv 0$, т. е. не существует нетривиальных течений типа Кармана на неподвижной плоскости. В противном случае выполнялось бы строгое неравенство (2.7), т. е. $0 < 0$.

2. При $n = -1$ у задачи (2.1)–(2.3) нет решений. В противном случае было бы выполнено (2.7), т. е. $6d \leq -d^3$.

3. Если $n = 1$, то решение (2.1)–(2.3) удовлетворяет неравенствам

$$(2.8) \quad d < \sqrt{6};$$

$$(2.9) \quad -2,3 < f'(0) < 0.$$

Неравенство (2.8) следует из (2.7) при $n = 1$. Для доказательства справедливости (2.9) нужно проинтегрировать (2.5) от 0 до d и воспользоваться (2.3). Это дает

$$(2.10) \quad f'(0) < 0.$$

Правое неравенство (2.9) доказано.

Из оценки (2.6) и уравнения (2.1) вытекает, что f не может достигать максимума при $\zeta \in [0, d]$. Поэтому в силу (2.3) и (2.10) $f(\zeta)$ монотонно убывает, а так как $h'' = -2f'$, функция $h(\zeta)$ выпукла вниз и, поскольку $h(0) = h(d) = 0$, отрицательна при $\zeta \in (0, d)$.

Учитывая установленные выше свойства функций $f(\zeta)$, $h(\zeta)$ и вид уравнения (2.1), легко показать, что $f''(\zeta) > 0$ при $\zeta \in (0, d)$, откуда $f(\zeta) < f(d)\zeta/d$. Подставляя последнее неравенство в (2.4), имеем $f(d) > -1/2$. Так как $f'(\zeta) < 0$, последнее неравенство влечет

$$(2.11) \quad f(\zeta) > f(d) > -1/2.$$

Поскольку $f(\zeta) < 0$, из (2.11) следует

$$(2.12) \quad f^2(\zeta) < 1/4 \quad \text{при } \zeta \in (0, d).$$

Подстановка (2.12) в (2.5) дает $(f + h^2/4)'' = 3f^2 + 1/8 < 7/8$. Интегрируя последнее неравенство от 0 до d и пользуясь (2.3), можно показать, что $f'(0) > -7d/8$, откуда, в силу того что d удовлетворяет (2.8), вытекает справедливость (2.9).

3. Автомодельный режим утолщения слоя на вращающейся плоскости. Численное решение. Пусть $F_\omega(x, y, d) = (f'(d), g'(d), h(d))$, где $f(\zeta)$, $g(\zeta)$, $h(\zeta)$ — решение задачи Коши

$$(3.1) \quad f(0) = h(0) = 0, g(0) = \omega, f'(0) = x, g'(0) = y$$

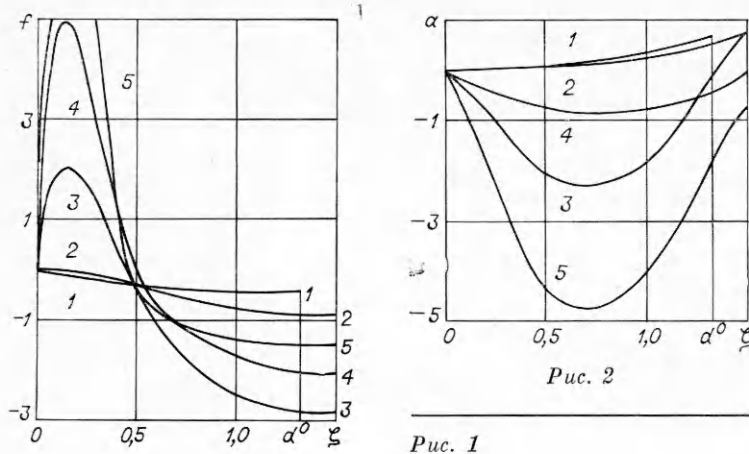
для системы уравнений (1.15)–(1.17) с $n = 1$. Тогда решение краевой задачи (1.15)–(1.19) эквивалентно решению системы трех уравнений

$$(3.2) \quad F_\omega(x, y, d) = 0$$

с тремя неизвестными $(x, y, d) = X$.

Выше показано, что при $\omega = 0$ решение (3.2) с $y = 0$ надо искать в области $x \in (-2,3; 0)$, $d \in (0; 2,5)$. Это решение было построено в курсовой работе студентки НГУ С. Б. Барабановой (использовался метод пристрелки по параметрам x, d). Оказалось, что $x = x^0 \simeq -1,4006$, $d = d^0 \simeq 1,3231$.

Графики функций $f^0(\zeta)$ и $a^0(\zeta) = h^0(\zeta) + \zeta/2$ показаны на рис. 1 и 2 (кривые 1). Функция $a(\zeta)$ пропорциональна осевой скорости течения, $f(\zeta)$ — радиальной. Построенное решение описывает течение в утолщающемся слое на неподвижной плоскости, обусловленное притоком жидкости из бесконечности. При $\omega > 0$ решения (3.2) ищались следующим методом продолжения по параметру ω . Пусть известно X_{j-1} — решение (3.2) при $\omega = \omega_{j-1}$, тогда решение при $\omega = \omega_j = \omega_{j-1} + \Delta\omega_j$



находится с помощью итерационного процесса (модифицированного метода Ньютона)

$$(3.3) \quad X_j^0 = X_{j-1} + \Delta\omega_j (\partial F_\omega / \partial X)^{-1} \partial F_\omega / \partial \omega;$$

$$(3.4) \quad X_j^{h+1} = X_j^h - (\partial F_\omega / \partial X)^{-1} \cdot F_\omega (X_j^h);$$

$$(3.5) \quad X_j = \lim_{h \rightarrow \infty} X_j^h,$$

где $(\partial F_\omega / \partial X)^{-1}$ — матрицы, обратные к $(\partial F_\omega / \partial X)$, вычисленные при $X = X_{j-1}$, $\omega = \omega_{j-1}$ и при $X = X_j^0$, $\omega = \omega_j$ в формулах (3.3), (3.4) соответственно.

При численной реализации этого метода вектор-функция $F_\omega(X)$ находилась путем замены уравнений (1.15)–(1.17) разностной схемой второго порядка точности с шагом $\Delta\zeta = 0,001$. Частные производные F_ω (кроме $\partial F_\omega / \partial d$) (3.3), (3.4) заменялись разностными аналогами вида

$$\frac{\partial F_\omega}{\partial x} = \frac{F_\omega(x + \Delta x) - F_\omega(x - \Delta x)}{2\Delta x}$$

и т. п. ($\Delta x = \Delta y = \Delta\omega = 10^{-4}$). Полагалось $\partial F_\omega / \partial d = (f''(d), g''(d), h'(d))$. Условие (3.5) заменялось на $X_j = X_j^h$, если $|X_j^h - X_j^{h+1}| < 10^{-8}$. Значения $\Delta\omega_j$ выбирались следующим образом:

$$\Delta\omega_j = \begin{cases} 0,01 & \text{при } \omega_j \in [0, 2) \cup [3, 5), \\ 0,001 & \text{при } \omega_j \in [2, 3), \\ 0,1 & \text{при } \omega_j \in [5, 10), \\ 1 & \text{при } \omega_j \in [10, 100). \end{cases}$$

Результаты расчетов представлены на рис. 1–4. На рис. 4 сплошной линией показан график функции $d(\omega)$. Оказалось, что $d(\omega)$ возрастает при $\omega < \omega^0 \simeq 1,53$ и убывает при $\omega > \omega^0$, что связано с изменением характера течения. При $\omega < \omega_0 \simeq 1,06$ осевая компонента скорости всюду положительна, радиальная отрицательна, окружная меняет знак. Вблизи свободной поверхности жидкость вращается в направлении, противоположном направлению вращения твердой плоскости. Абсолютная величина угловой скорости жидкости на свободной поверхности ω^1 близка к 2ω при малых значениях ω . С ростом ω отношение ω^1/ω убывает, ω^1 растет. На рис. 1–3 приведены соответственно графики функций $f(\zeta)$, $a(\zeta)$ и $g(\zeta)$ при $\omega = 0,2$ (кривые 2).

Парадоксальный на первый взгляд характер построенных решений объясняется тем, что причина движения жидкости здесь наряду с вращением диска — поток на бесконечности. При малых ω центробежные силы на вращающемся диске недостаточны для того, чтобы развернуть течение.

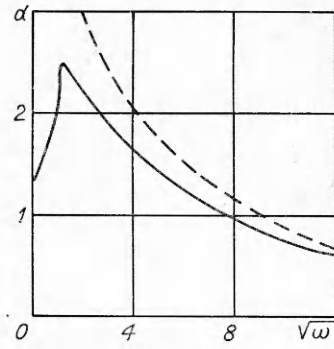
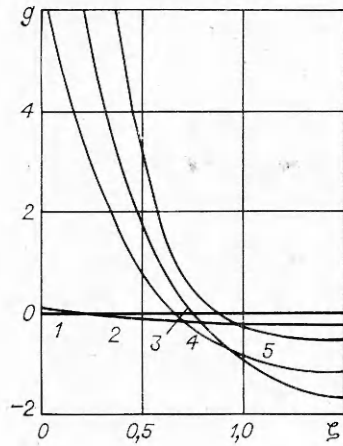


Рис. 3
Рис. 4

При $\omega > \omega_0$ вблизи твердой плоскости возникает зона, где $a(\zeta) < 0$, $f(\zeta) < 0$, т. е. жидкость отбрасывается центробежными силами. В окрестности свободной границы жидкость, так же как и при малых ω , движется к центру и вверх и вращается в направлении, противоположном направлению вращения диска, ω^1 возрастает с увеличением ω , ω^1/ω убывает. На рис. 1—3 цифрой 3 обозначены графики функций $f(\zeta)$, $a(\zeta)$ и $g(\zeta)$ при $\omega = 14,5$. «Противовращение» жидкости вблизи свободной поверхности является, по-видимому, следствием автомодельности рассматриваемых решений, требующих для своей реализации специальных условий на бесконечности.

Описанным выше методом были построены решения задачи (1.15)—(1.19) при $\omega \leq 100$. Если $\omega > 100$, то этот метод не обеспечивает нужной точности, так как значения производных искомых функций становятся слишком велики. При больших ω вычисления удобно вести в новых переменных, которые введены ниже.

4. Асимптотика решений при больших угловых скоростях. Стационарные решения. Замена переменных

$$(4.1) \quad \zeta = d\eta, f = \varphi d^{-2}, g = \psi d^{-2}, h = \chi d^{-1};$$

$$(4.2) \quad \alpha = d^2$$

приводит задачу (1.15)—(1.19) к виду

$$(4.3) \quad \begin{cases} \varphi'' = \chi\varphi' + \varphi^2 - \psi^2 - \alpha\varphi, \psi'' = \chi\psi' + 2\varphi\psi - \alpha\psi, \\ \chi' = -2\varphi - \alpha/2; \end{cases}$$

$$(4.4) \quad \varphi(0) = \chi(0) = 0, \psi(0) = \psi_0 = \omega d^2, \varphi'(1) = \psi'(1) = \chi(1) = 0.$$

Параметр ψ_0 ниже считается заданным, α — искомым.

Очевидно, что любое решение задачи (4.3), (4.4) такое, что $\alpha > 0$ после замены (4.1), (4.2) дает решение (1.15)—(1.19) с $n = 1$ и, наоборот, любое решение (1.15)—(1.19) замена, обратная к (4.1), (4.2), переводит в решение (4.3), (4.4) с $\alpha > 0$.

Задача (4.3), (4.4) решалась численно методом продолжения по параметру ψ_0 , аналогичным описанному в п. 3. Полагалось, что $F_{\psi_0}(X) = (\varphi'(1), \psi'(1), \chi(1))$, где $X = (\varphi_0', \psi_0', \alpha)$, $\varphi(\eta), \psi(\eta), \chi(\eta)$ — решение задачи Коши $\varphi'(0) = \varphi_0', \psi'(0) = \psi_0', \psi(0) = \psi_0$ для уравнения (4.3), $X_0 = (x(100)d^3(100), y(100)d^3(100), d^2(100))$.

Проведенные вычисления показали, что $\alpha > 0$ при $\psi_0 < \psi_{0*} \simeq 53,73$, $\alpha(\psi_{0*}) = 0$. Функции φ_* , ψ_* , χ_* — решение (4.3), (4.4) при $\psi_0 = \psi_{0*}$. Переходя опять к переменным f, g, h, d, ζ , можно заключить, что $d^2\omega \rightarrow \psi_{0*}, f(\zeta)/\omega \rightarrow \varphi_* (\sqrt{\psi_{0*}/\omega \zeta})/\psi_{0*}, g(\zeta)/\omega \rightarrow \psi_* (\sqrt{\psi_{0*}/\omega \zeta})/\psi_{0*}, h(\zeta)/\sqrt{\omega} \rightarrow \chi_* (\sqrt{\psi_{0*}/\omega \zeta})/\sqrt{\psi_{0*}}$ при $\omega \rightarrow \infty$.

Нетрудно видеть, что если $\alpha = 0$, то система (4.3) совпадает с системой (1.15)–(1.17) при $n = 0$. Поэтому построенное решение $\varphi_*(\zeta)$, $\psi_*(\zeta)$, $\chi_*(\zeta)$, 0 задачи (4.3), (4.4) есть в то же время решение задачи (1.15)–(1.19) с $n = 0$, $d = 1$, т. е. стационарное решение (1.6)–(1.13).

Легко проверить, что при $n = 0$ замена (4.1), (4.2) переводит уравнения (1.15)–(1.17) и однородные граничные условия в себя. Правая часть неоднородного граничного условия переходит в ωd^2 . Поэтому при произвольном значении ω и $n = 0$ задача (1.15)–(1.19) имеет решение

$$\begin{aligned} f_\omega(\zeta) &= \omega \varphi_*(d_0(\omega)\zeta)/\psi_{0*}, & h_\omega(\zeta) &= \omega^{1/2} \chi_*(d_0(\omega)\zeta)/\psi_{0*}^{1/2}, \\ g_\omega(\zeta) &= \omega \psi_*(d_0(\omega)\zeta)/\psi_{0*} & (d_0(\omega) &= (\psi_{0*}/\omega)^{1/2}). \end{aligned}$$

Графики функций $f_\omega(\zeta)$, $a_\omega(\zeta)$, $g_\omega(\zeta)$ при $\omega = 23,88$ обозначены цифрой 4 на рис. 1–3 соответственно. График функции $d_0(\omega)$ показан на рис. 4 и 5 штриховой линией.

З а м е ч а н и е 4.1. Если продолжить функции $f(\zeta)$ и $g(\zeta)$ симметрично относительно прямой $\zeta = d$, а $h(\zeta)$ — антисимметрично, то получатся функции, удовлетворяющие при $\zeta \in (0, 2d)$ уравнениям (1.15)–(1.17), а при $\zeta = 0$ и $\zeta = 2d$ — граничным условиям на твердой стенке (1.18), т. е. описывающие стационарные течения между двумя дисками, вращающимися в одну сторону и с одинаковыми угловыми скоростями.

З а м е ч а н и е 4.2. Для всех построенных стационарных решений $\text{Re} = \Omega Z^2/\nu = \psi_{0*} \approx 53,73$.

5. Растекание слоя на вращающейся плоскости. Задача (4.3), (4.4) оказывается разрешима и при $\psi_0 > \psi_{0*}$, но $\alpha < 0$ при $\psi > \psi_{0*}$. Пусть $\varphi(\eta)$, $\psi(\eta)$, $\chi(\eta)$, $\alpha < 0$ — решение (4.3), (4.4). Если положить $d^2 = -\alpha$ и сделать замену (4.1), полученные функции $f(\zeta)$, $g(\zeta)$, $h(\zeta)$ и число d будут решением задачи (1.15)–(1.19) с $n = -1$, т. е. будут описывать автомодельный режим растекания слоя на вращающейся плоскости.

Задача (4.3), (4.4) решалась при $\psi_0 > \psi_{0*}$ численно тем же методом, что и при $\psi_0 < \psi_{0*}$. При этом значение α менялось от 0 до -1 , ω — от ∞ до 50, d — от 0 до 1. При меньших ω решение проводилось в переменных ζ , f , g , h , d методом, описанным в п. 3. Были найдены решения при $\omega > \omega_* \approx 30,68$. Оказалось, что $|d'(\omega)| \rightarrow \infty$ при $\omega \rightarrow \omega_*$, и продолжить решение при $\omega < \omega_*$ не удалось. Последнее равенство дало основание предположить, что зависимость $d(\omega)$ неоднозначна. Последующие расчеты подтвердили это предположение. Они проводились методом, аналогичным описанному в п. 3, но в задаче (1.15)–(1.19) d считалась заданной, а ω — искомой. Использовался метод продолжения по параметру d . Полагалось $\Delta d = 0,1$, $d^0 = d(40)$, $x^0 = x(40)$, $y^0 = y(40)$, $\omega^0 = 40$. Величины, стоящие в правых частях, вычислены ранее методом продолжения по параметру ω .

График зависимости $d(\omega)$ показан на рис. 5 сплошной линией. Решения, соответствующие нижней части этого графика, описывают течения такие, что вблизи твердой плоскости жидкость вращается в том же направлении, что и диск, и растекается вдоль него. Вблизи свободной поверхности жидкость течет к центру и вращается в направлении, противоположном направлению вращения диска. С ростом ω значения ω^1 и ω^1/ω увеличиваются. Графики функций $f(\zeta)$, $g(\zeta)$ и $a(\zeta)$ при $\omega = 37,94$ обозначены на рис. 1–3 цифрой 5. Для решений, отвечающих верхней части графика на рис. 5, ω^1 и ω^1/ω с ростом ω убывают. При больших ω эти решения имеют характер погранслоя, вне узкой зоны вблизи вращающейся плоскости они близки к

$$f(\zeta) = -1, g(\zeta) = 0, h(\zeta) = 5(\zeta - d)/2.$$

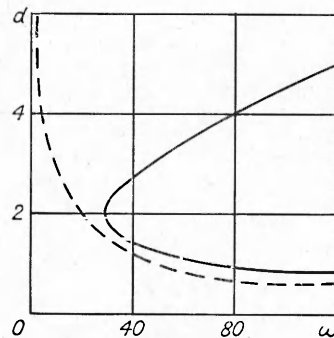


Рис. 5

Функции $f(\zeta)$, $g(\zeta)$ и $h(\zeta)$, определенные формулами (5.1), удовлетворяют уравнениям (1.15)–(1.17) и условиям на свободной границе $\zeta = d$ при любом значении d , которое растет почти линейно с увеличением ω . Расчеты проводились до $\omega = 50$.

Построенные решения описывают течения, для которых толщина слоя D изменяется по закону $D = d\sqrt{1 - \tau}$. За конечное время $D(\tau)$ обращается в нуль, т. е. поверхность «высыхает». Эти решения, по-видимому, не исчерпывают весь класс решений задачи (1.15)–(1.19). Например, возможно существование решений, имеющих при больших значениях ω асимптотику не (5.1), а $f(\zeta) = 0$, $g(\zeta) = 0$, $h(\zeta) = (\zeta - d)/2$.

Заметим, что из решений, построенных в пп. 3–5 с помощью преобразования растяжения переменных F, G, H, ξ, τ , можно получить автомодельные решения задачи (1.5)–(1.13) общего вида

$$F = (a + b\tau)^{-1}f(\zeta), G = (a + b\tau)^{-1}g(\zeta), H = (a + b\tau)^{-1/2}a(\zeta), \\ \zeta = \xi/\sqrt{a + b\tau}.$$

Автор благодарит В. В. Пухначева за обсуждение работы и полезные советы.

ЛИТЕРАТУРА

1. Higgins B. G. Film flow on a rotating disk // Phys. Fluids.— 1986.— V. 29, N 11.
2. Emslie A. G., Bonner F. T., Peck L. G. Flow of a viscous liquid on a rotating disk // J. Appl. Phys.— 1958.— V. 29, N 5.
3. Thomas I. M. High laser damage threshold porous silica antireflective coating // Appl. Phys.— 1956.— V. 25, N 9.
4. Matsumoto S., Saito K., Takashima Y. Flow of a viscous liquid on a rotating disk // Bull. Tokyo Inst. Technol.— 1972.— N 409.
5. Matsumoto S., Saito K., Takashima Y. Thickness of liquid film on a rotating disk // Bull. Tokyo Inst. Technol.— 1973.— N 416.
6. Matsumoto S., Saito K., Takashima Y. Thickness of liquid film on a rotating disk // J. Chem. Engng Jap.— 1973.— V. 6, N 6.
7. Karman Th. von. Über laminare und turbulente Reibung // ZAMM.— 1921.— Bd 1, N 4.
8. Пухначев В. В. Неуставившиеся движения вязкой жидкости со свободной границей, описываемые частично-инвариантными решениями уравнений Навье — Стокса // Динамика сплошной среды.— Новосибирск: ИГ СО АН СССР, 1972.— Вып. 10.

г. Новосибирск

Поступила 6/XI 1987 г.,
в окончательном варианте — 10/V 1988 г.

УДК 533.6.011.8

В. Д. Акиншин, А. М. Макаров, В. Д. Селезнев, Ф. М. Шарипов

ДВИЖЕНИЕ РАЗРЕЖЕННОГО ГАЗА В ПЛОСКОМ КОРОТКОМ КАНАЛЕ ВО ВСЕМ ДИАПАЗОНЕ ЧИСЕЛ КНУДСЕНА

В [1] показано, что в литературе течение разреженного газа в конечном канале рассматривалось в узком диапазоне чисел Кнудсена или в грубых предположениях, справедливых только для достаточно длинных каналов. Там эта задача решена в широком диапазоне, но в предположении, что молекулы, входящие в канал через его торцы, имеют абсолютную максвелловскую функцию распределения, что также ограничивает применение ее результатов конечными, но достаточно длинными каналами. В связи с этим возникает необходимость в точном решении данной задачи во всем диапазоне чисел Кнудсена с учетом формирования течения в предвходных областях сосудов.

1. Рассмотрим плоский капал длиной l , высотой $2a$, бесконечный в направлении z , соединяющий два полубесконечных сосуда с одним и тем же газом (рис. 1). В сосудах на достаточно большом удалении от канала газ поддерживается в равновесных условиях при давлениях p_1 и p_2 и одинаковых температурах T . Под действием перепада давления газ движется в направлении x .